

Fotografía 1.- Panorámica de los relieves de la Formación basáltica miocena en la zona occidental de la Hoja. En primer término Montaña de Tefía, al fondo La Muda (M) y El Aceitunal (A). Miocene



Fotografía 10.- Apilamiento de coladas basálticas miocenas en la cabecera del Valle de Valhondo, al fondo vértice Muda y, en primer término, conos de deyección.
MIOCENO



Fotografía 11.- Nivel de almagre, bastante continuo, entre las coladas de la formación basáltica miocena en la zona del Morro del Paso-Majada del Pocito. En primer plano se observan los conos de deyección recubriendo a un antiguo caliche. **Mioceno**



Fotografía 12.- Detalle del afloramiento de gabros al sur del Pico de La Fortaleza.
MIOCENO



Fotografía 13.- Afloramiento de Brecha Ampuyenta en el km 15 de la carretera de Tetir-La Oliva. MiOCENO



Fotografía 14.- Detalle de las brechas del afloramiento anterior.
MIOCENO



Fotografía 15.- Fragmentos de diques rotos en la Brecha Ampuyenta. Proximidades del km 15 de la carretera de Tetir-La Oliva. MIOCENO



Fotografía 16.- Detalle de las brechas de la fotografía anterior.
MIOCENO



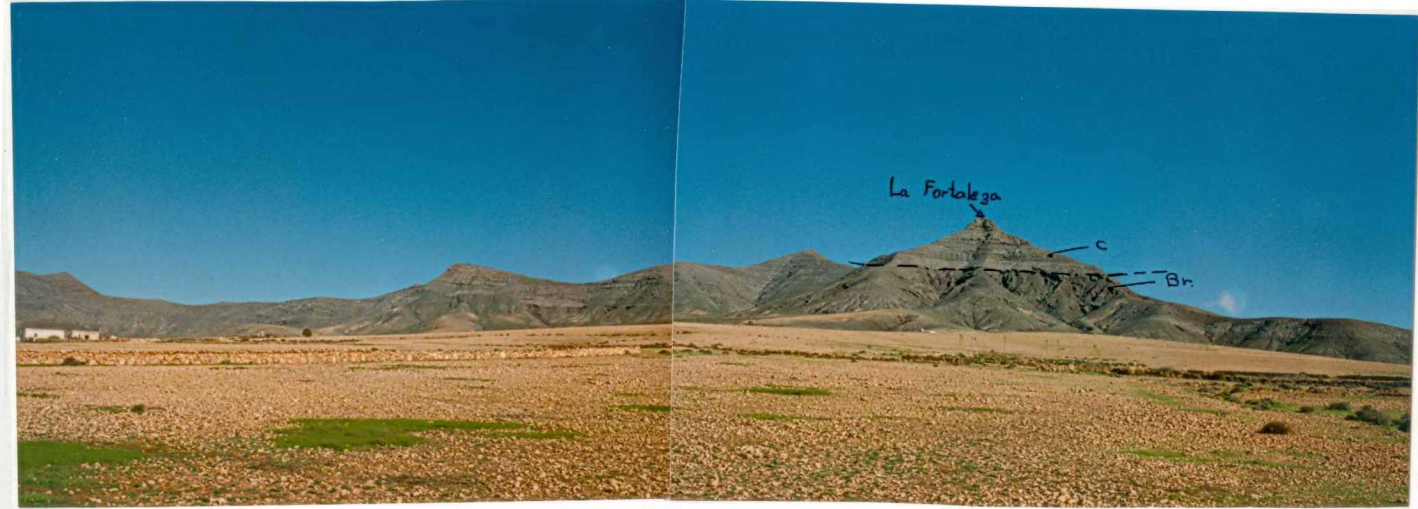
Fotografía 17.- Detalle de los niveles detríticos y epiclásticos intercalados entre las coladas basálticas miocenas en el Lomo del Viento. MiocENO



Fotografía 18.- Conglomerados y depósitos epiclásticos intercalados entre las coladas basálticas miocenas en La Degollada entre Tindaya y Vallebrón. **MIOCENO**



Fotografía 19.- Contacto mecánico entre coladas de basaltos plagioclásicos y brechas, en un barranquillo al este del Lomo del Cordobés. A su vez, se observa un plano (P) con estriaciones de fricción de dirección N. 110° E. buzando unos 43° al S. **MIOCENO**



Fotografía 2.- Contacto entre las brechas (Br) y coladas (c) de la Formación basáltica miocena en el Pico de la Fortaleza-Degollada de Facay. En primer término se observan superficies de glacis encalichados. MIOCENO



Fotografia 20.- Detalle del plano de estrias (N-110º E) de la fotografía anterior.
MIOCENO



Fotografía 21.- Afloramiento de brechas con aspecto de "facetas triangulares" inclinadas unos 20º al OSO. que implicaría una dirección del probable deslizamiento N20º E. Al fondo, se observa el edificio piroclástico de Montaña Bermeja y los relieves del Complejo Basal de la zona de Salinas. **MIOCENO**



Fotografía 22.- Detalle de una bomba entre los niveles de escorias y lapillis de la formación basáltica miocena en la zona próxima a La Costa de Tinojay.
MIOCENO



Fotografía 23.- Edificio de Temejereque (Fase pliocena). En primer término coladas ba-
sálticas pliocenas afectadas por enclaichamientos superficiales.

MIOCENO

La Calderetilla



Fotografía 24.- Panorámica de La Calderetilla (Fase pliocena) y laderas de Vallebrón constituidas por apilamientos de coladas basálticas miocenas. MIOCENO
• PERTENECE A LA HOSA DE LA OLIVA



Fotografía 25.- Montaña de San Andrés. Cono piroclástico de la Fase pliocena. PLIOCENO



Fotografía 26.- Apilamiento de coladas basálticas miocenas en el Morro de Las Piteras. En primer término, afectado por el encalichamiento, se observa el cono (co.) piroclástico de Majada de Higueras (Fase pliocena). MIOCENO

• PERTENECE A LA HOJA DE PUERTO ROSARIO



Fotografía 27.- Contacto entre un tramo de coladas delgadas de tipo pahoehoe (abajo) y coladas afaníticas masivas (arriba) que provocan la planicie meridional del Valle de Fimapaire. **PLIOCENO**



Fotografía 28.- Apilamiento de coladas basálticas pliocenas en la ladera sur del barranco de Las Monjas.

PLIOCENO



Fotografía 29.- Planicie de coladas basálticas pliocenas en la zona del barranco de la Herradura. En la parte superior derecha aparece la localidad de Tetir.
PLIOCENO



Fotografía 3.- Panorámica del apilamiento de coladas y brechas de la Formación basáltica miocena en la ladera O. del Aceitunal. En primer término se observa un cono de deyección (C.D.) de grandes dimensiones. MIOCENO



Fotografía 30.- Cono piroclástico de edad pleistocena situado en la falda norte del Aceitunal (Montaña de La Caldera). En primer término se observan los depósitos arcillosos que rellenan la Vega de la Matilla. PLEISTOCENO



Fotografía 31.- Edificio piroclástico reciente de Montaña Quemada. A la izquierda de la fotografía, se observan las acumulaciones lávicas próximas al cráter y, a la derecha de la misma, el apilamiento de coladas basálticas mioceñas del Lomo del Viento. CUATERNARIO

* PERTENECE A LA HOJA DE LOS MOLINOS.



Fotografía 32.- Panorámica de los depósitos arcillosos de La Matilla. Al fondo el Apilamiento de coladas basálticas miocenas del Lomo del Viento. CUATERNARIO



Fotografía 33.- Depósitos arcillosos en la zona de Tetir-La Matilla. Al fondo los relieves del Pico del Sabio y de Don David constituidos por coladas basálticas miocenas. CUATERNARIO



Fotografía 34.- Otro aspecto del acarcavamiento que representan los depósitos arcillosos de La Matilla. Al fondo aparecen las coladas basálticas miocenas apiladas subhorizontalmente. CUATERNARIO



Fotografía 35.- Depósitos de arcillas y limos encalichados en las proximidades de La Calderetilla. Obsérvese la superficie de colmatación (S.col.).
CUATERNARIO



Fotografía 36.- Nivel de arenas eólicas fosiles enclichadas (A.E.) y rubefactadas por la colada pliocena infrayacente, en las proximidades de la desembocadura del barranco de la Monja. PLIOCENO



Fotografía 37.- Niveles de conglomerados y areniscas de la "rasa Erbanense", en la playa de la Punta de la Pared. CUATERNARIO



Fotografía 38.- Niveles de arenas con fauna en las proximidades de la playa de Los Charcos. CUATERNARIO



Fotografía 39.- En primer término, depósitos aluviales de los Llanos de Muchichafe. Al fondo, los relieves miocenos del Aceitunal. CUATERNARIO
• PERTENECE A LA HOJA DE LOS MOLINOS.



Fotografía 4.- Apilamiento de coladas de la Formación basáltica miocena al este del Morro de Las Piteras. Al techo se observa un planchón discordante de coladas -- afaníticas (c) de composición basáltica-traquibasáltica. **MIOCENO**



Fotografía 5.- Panorámica de las coladas (c), y brechas (Br) de la Formación basáltica miocena en los cuchillos al norte de Casillas del Angel. MIOCENO
• PERTENECE A LA MESA DE PUERTO ROSARIO



Fotografía 6.- Apilamiento de coladas de la formación basáltica miocena en el Morro de Las Piteras. En la parte inferior, por debajo del depósito, predominan las coladas pahoehoe; mientras que hacia arriba alternan coladas más - potentes y masivas tipo "fortalezas". MIOCENO



Fotografía 7.- Coladas de la formación basáltica miocena en El Morro de la Atalaya-Morro de Las Piteras. Adosadas al relieve mioceno se observan una gran cantidad de conos de deyección (c.d.) algunos de los cuales están parcialmente encalichados (ca.). MIOCENO



Fotografía 8.- Panorámica de la formación basáltica miocena en la zona del Lomo del Viento-Espigón de La Mesa. MIOCENO



Fotografía 9.- Apilamiento de coladas basálticas miocenas en el vértice Muda.
En primer término se observan los depósitos arcillosos de La Matilla (Ar).
y los conos de deyección. **MIOCENO**